

## ソリトン問題とNonlinear turning point問題 (Nonlinear WKB法)

大阪外語大 物理 中村 明 (Akira Nakamura)

### §1. はじめに.

完全積分が可能な非線形システムの研究が、この20年くらいには、たいへん発達した。いわゆる非線形方程式の具体的な exact solution が、かきくだせり、ソリトンとよばれている。一方 WKB 法は、近似的なこゑとくに有力な手段である（トンネル効果の計算に、とくに有用）。WKB 法に、性質のよいソリトン的非線形性を、組みこめられるいろいろうか？つまり WKB の nonlinear 版を、とけなうるうか？

すでに1977年12月、非線形常比ブン方程式の一種、  
パンルベ方程式 (Painlevé II eq.) をソリトンの手法の逆散乱法でといた、アメリカ人の paper において、この Painlevé II eq. をとくことか「nonlinear turning point の原型をあらえ子」ということか、つまりと、明言されている。<sup>1)</sup>

ところが、そののち、この問題を、より具体的に、すりぬるニセガタ、おそれていないうちなので、わかれわれは、この問題を nonlinear WKB 法とし、もういちど、かんかえたい。

## §2 WKB 法のソリトンと nonlinearization には、 どんなものが、可能だろうか？

さて、nonlinear WKB といつても、non-linearity のかたちは、無限に、かんかえられるので、ソリトンとの関係では、どんな nonlinearity が WKB と相性がよいかを、かんかえねば、至らない。まず、ふつうの WKB 法では、 $E \equiv \text{const.}$ ,  $V(x) \equiv \text{できとう} \equiv \text{ポテンシャル}$ , とし、シユレーティンガー eq.

$$u_{xx}(x) + \{E - V(x)\} u(x) = 0, \quad u_{xx}(x) \equiv (d/dx)^2 u(x), \quad (2.1)$$

をあつかう。一方ソリトン eq. と(2)代表的なものは、

$$iu_t + u_{xx} + 2u^*uu = 0, \quad (\text{非線形 Schrödinger eq.}) \quad (2.2a)$$

$$u_t + 6u^n u_x + 4u_{xx} = 0, \quad (\text{KdTeq. } (n=1); \text{ mKdTeq. } (n=2)), \quad (2.2b)$$

$$u_{xx} - u_{tt} = \sin u, \quad (\text{トインコルトン eq.}), \quad (2.2c)$$

などがある。一見 (2), (2.1) と (2.2a) の相似性が伺いの  
日、あざさかである。(しかし、とさやすり裏では、(2.2b)  
のほうが、かんたんなのを、ニシカツ、メタウル。 (2.2b)  
の  $n=2$  の  $\{u(x,t) = (3t)^{-\frac{1}{3}} w/x (3t)^{-\frac{1}{3}}\}$  といふ  
相似変換で reduce すれば、いわゆる Painlevé II eq.

$$w_{,x}(x) \pm 2w(x)^3 - xw(x) - \delta = 0, \quad \delta \equiv \text{const.}, \quad (2.3)$$

となるので、<sup>1)</sup> nonlinear WKB のときと (2), (2.1) と (2.3) の

$$u_{,x} + \{E - V(x)\} u + 2u^3 = 0, \quad (2.4a)$$

のタイ波が、あつかいやさしいと期待される。 (2.3)  
で、 $\delta=0$  とし、 $\pm 3/2 - xw(x)$  項は、 $\{E - V(x)\}$  が  $x \geq 0$   
の下から  $\sim a_0 x + \dots$  ( $a_0 \equiv \text{const.}$ ) と展開されると、  
 $a_0 x$  をあるいは性質の項だから、あと (2.1).

一方 KdTeq. つまり (2.2b) の  $n=1$  で、 $U = (12t)^{-\frac{2}{3}} x$   
 $U \{x(12t)^{-\frac{1}{3}}\}$  を用いて reduce すれば

$$-4U - 4(xU)' + 6UU' + U''' = 0, \quad (2.5)$$

となる。この式1項  $-4U^2 + 2U/2$  加えたもの

$$U_{xx} - 4xU + 3U^2 + 2 \int_x^y dx' U(x') = 0, \quad (2.6)$$

で、これやすいようである。 $(2.1)$  と  $(2.6)$  のくみあわせ

$$U_{xx} + \{E - V(x)\} u + 3u^2 + 2 \int_x^y dx' u(x') = 0, \quad (2.4b)$$

で、これは nonlinear WKB となる。 $(2.4b)$  の integral term は、やはり形のかんたんさを、失うので、 $(2.5)$  の式1項を近似的12、おとしたものと  $(2.1)$  のくみあわせ

$$U_{xx} + \{E - V(x)\} u + 3u^2 = 0, \quad (2.4c)$$

は、応用性のあるよい nonlinear WKB となる。

同様に  $(2.1)$  と  $(2.2a)$  からは

$$U_{xx} + \{E - V(x)\} u + 2u^* u u = 0, \quad (2.4d)$$

$(2.1) \leq (2.2c)$  からは、

$$U_{\alpha} + \{E - V(x)\} n + \sin n = 0, \quad (2.4e)$$

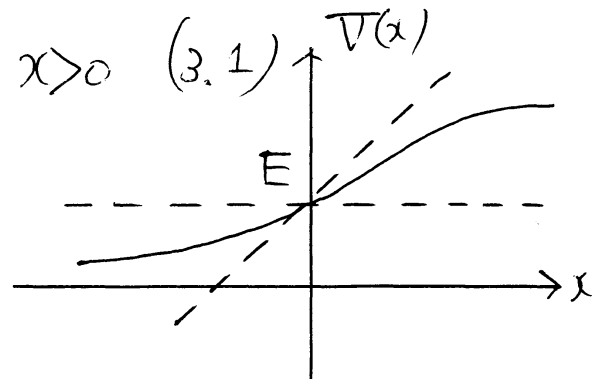
などから、nonlinear WKB の近似解法とあることがわ  
かる。うえ (2.4a)-(2.4e) の5つは、それらの固有  
の物理上の応用のまとめを、もつと、おもむかれる。

§3. もともと、かんたんな nonlinear WKB 例. (2.4a) の  
近似解の導出。

以下では、§2 の5つ式 (2.4a)-(2.4e) のうち  
の (2.4a) を見てみる。かんたんのため、(1)

$$V(x) - E > 0 \quad \text{for } x > 0 \quad (3.1)$$

とし (2),  $x > 0$  のとき、かんたん  
とする。Turning point  
 $x=0$  のすぐくへは、



$$V(x) - E = x + O(x^2), \quad (3.2)$$

とする。このとき linear WKB eq. (2.1) は、 $x \approx 0$  で

$$U_x(x) - x u(x) = 0, \quad u(x) = \epsilon A_i(x), \quad \epsilon \equiv \text{const.}, \quad (3.3)$$

となり、エアリ一関数  $A_i(x)$  の近似解となる。一方 non-linear WKB eq. (2.4a) は  $x \approx 0$  で

$$U_x(x) - x u(x) + 2u(x)^3 = 0, \quad (3.4)$$

すなわち Painlevé II eq. となる。この  $u \rightarrow 0$  で  $\epsilon A_i(x)$  となる exact solution は、無限級数となる<sup>1)</sup>。われわれは近似式 eq. (3.4) のような近似解で、満足することは（よ）。つまり、この近似解を Hirota bilinear method<sup>2)</sup> で求めよう。Eq. (3.4) は

$$U = i \left( \log \frac{g}{f} \right)_x, \quad (3.5)$$

と代入（2, 3）すれば、

$$U_x - x U + 2U^3 = \frac{3i(\partial_x g f / \partial_x^2 g \cdot f)}{(g f)^2} + \frac{i(\partial_x^3 - x \partial_x) g f}{g f}, \quad (3.6)$$

よろづ。 たとえ  $D_x g \cdot f = g_x f - g f_x$ ,  $D_x^2 g \cdot f = g_{xx} f - 2g_x f_x + g f_{xx}$ ,  $D_x^3 g \cdot f = g_{xxx} f - 3g_{xx} f_x + 3g_x f_{xx} - g f_{xxx}$  とす。

これが (3.4) の bilinear form と 12

$$\left\{ \begin{array}{l} D_x^2 g \cdot f = 0 \\ (D_x^3 - x D_x) g \cdot f = 0, \end{array} \right. \quad (3.7a)$$

$$(3.7b)$$

よろづ。 いま  $g, f \in \mathcal{C}^\infty(\mathbb{R})$  とする

$$\left\{ \begin{array}{l} g = 1 + i \epsilon h^{(1)} + \epsilon^2 h^{(2)} + i \epsilon^3 h^{(3)} + \dots, \\ f = g^* = 1 - i \epsilon h^{(1)} + \epsilon^2 h^{(2)} - i \epsilon^3 h^{(3)} + \dots, \end{array} \right. \quad (3.8a)$$

$$(3.8b)$$

よろづ、 (3.8) は (3.7) の解である。

$$\left\{ \begin{array}{l} D_x^2 \{ 1 \cdot 1 + i \epsilon (h^{(1)} \cdot 1 - 1 \cdot h^{(1)}) + \epsilon^2 (h^{(2)} \cdot 1 + h^{(1)} \cdot h^{(1)} + 1 \cdot h^{(2)}) + O(\epsilon^3) \} = 0, \\ (D_x^3 - x D_x) \{ \dots \} = 0, \end{array} \right. \quad (3.9)$$

この式は各 order ごとに成り立つ、  $\epsilon < \epsilon_0$

$O(\epsilon^0), O(\epsilon^1), O(\epsilon^2)$  のようにして、 かんがえ

$O(\epsilon^0)$ : ちうたつ

$$O(\epsilon^1): \{(\partial/\partial x)^3 - x(\partial/\partial x)\} h^{(1)} = 0, \quad h^{(1)} = \int_x^\infty dx' A_i(x'),$$

$$O(\epsilon^2): 2(\partial/\partial x)^2 h^{(2)} + D_x^2 h^{(1)} \cdot h^{(1)} = 0,$$

$$h_{,xx}^{(2)} - A_i'(x) \int_x^\infty dx' A_i(x') - A_i(x)^2 = 0,$$

$$h^{(2)} = -\frac{1}{2} \left\{ \int_x^\infty dx' A_i(x') \right\}^2 + 2 \int_x^\infty dx' \int_{x'}^\infty dx'' A_i^2(x''),$$

(3.10)

とある。一方 (3.5) 12 (3.8a, b) をみつけよ、

$$U = i \left( \log \frac{g}{f} \right)_x = \frac{i D_x g \cdot f}{g f} = \frac{i \{ i \in h_x^{(1)} + O(\epsilon^3) \}}{\{ 1 + \epsilon^2 (2h^{(2)} + h^{(1)})^2 + O(\epsilon^4) \}}. \quad (3.11)$$

ここで  $h^{(1)}$ ,  $h^{(2)}$  の具体形をみつけよ

$$U \propto \frac{e^{A_i(x)}}{\{ 1 + 4\epsilon^2 \int_x^\infty dx' \int_{x'}^\infty dx'' A_i^2(x'') \}}. \quad (3.12)$$

これが Painlevé II の近似解であり、同時に nonlinear WKB eq. (2.4a) の turning point,  $x \approx$ , ちかくの近似解である。

さて (3.12) は、(3.3) の linear WKB の二つ目、 $U = e^{A_i(x)}$  は  $\epsilon^2$  の二、 $\epsilon^2$  の一の項が合併した、つまり

かかるだけである。だからたいへん、あるいは近似にみえるが、分子にあるといふことが珍しいである。なぜなら  $1/(1+x) = 1 - x + x^2 - x^3 \dots$  のように、これは分子でみる無限の項を全部、ていうからである。

さて、しめくくりとして、われわれは、linear WKB を扱って、nonlinear WKB においても、 $A_i(x)$  は、WKB のことばで、かぎりあしてゆこう。 $A_i$  は Bessel 関数でかくと

$$A_i(x) = (1/3) x^{1/2} \left\{ I_{-\frac{1}{3}} \left( \frac{2}{3} x^{3/2} \right) - I_{\frac{1}{3}} \left( \frac{2}{3} x^{3/2} \right) \right\}. \quad (3.13)$$

変数  $\xi(x)$  について導入すると、<sup>2)</sup>

$$\xi(x) \equiv \int_{x_0}^x \sqrt{V(x') - E} dx', \quad (3.14)$$

ここで、 $x_0 = \text{turning point}$  (回転点, センターポイント)。<sup>3)</sup> の  $A_i(u) \approx \xi(x)$  とかくえると、

$$A_i(x) \rightarrow \{\bar{V}(x) - E\}^{-1/4} \xi^{1/2} \left\{ I_{-\frac{1}{3}}(\xi) - I_{\frac{1}{3}}(\xi) \right\} \equiv \tilde{A}(u),$$

$$u(u) \approx \xi(x). \quad (3.15)$$

(3.15) が linear WKB の turning point つかい ( $x \approx x_0$ ) の

solution だから, おなじかさえて nonlinear WKB で  
3と(3.12)から

$$u(x) \approx \frac{\epsilon \hat{A}(x)}{\left\{ 1 + 4\epsilon^2 \int_{x_0}^x dx' \int_{x_0}^{x'} dx'' \hat{A}(x'') \right\}},$$

(turning point だから), (3.16)

とある。(integral の上, TR の  $\infty$  は  $x_0$  は, 0, 2 はかく  
つかう,  $\hat{A}$  は, あやしむ). 3は turning point  
より十分とおいたとすれば(1)は  $x \approx +\infty$  では, linear  
WKB で(3.2)

$$u(x) \rightarrow \epsilon \hat{A}(x) \rightarrow \text{const.} \{V(x) - E\}^{-\frac{1}{4}} e^{-\xi(x)} \quad (3.17)$$

同様に nonlinear WKB で

$$u \approx \frac{\epsilon' \{V(x) - E\}^{-\frac{1}{4}} e^{-\xi(x)}}{\left\{ 1 + 4\epsilon'^2 \int_{x_0}^x dx' \int_{x_0}^{x'} dx'' \{V(x'') - E\}^{-\frac{1}{2}} e^{-2\xi(x'')} \right\}},$$

$\epsilon' \equiv \text{const.}, \quad (x \approx +\infty), \quad (3.18)$

となる。(3.16), (3.18)が nonlinear WKB の近似解である

ある。

以上、ヨルキックリつめちけんばるとなり、detail は、あるが、多少とも nonlinear WKB の具体化の一歩を すすめたといえよう。でそれは、かんたんモデルの 数値計算との比較を、してみたのが、今回も、それあわむか、左。これから、かんかえてゆくより。

### References

- 1) M. J. Ablowitz and H. Segur: Phys. Rev. Lett. 38 (1977) 1103.
- 2) L. I. Schiff: 量子力学(井上健訳), 吉岡書店,  
オーバーVII章28節。